

OCTによる不安定プラークの検出および  
no-reflowに関する検討

石川県立中病院 循環器内科  
三輪 健二

# OCTのPCIへの活用

- ① 高度狭窄病変
- ② 高度石灰化病変（Rotaの適応と効果判定）
- ③ 不安定プラーク（no-reflowの予測）
- ④ ステント留置後の評価（内腔径、面積、appositionなど）
- ⑤ follow up時の評価（血栓、新生内膜の被覆状況など）

# OCTのPCIへの活用

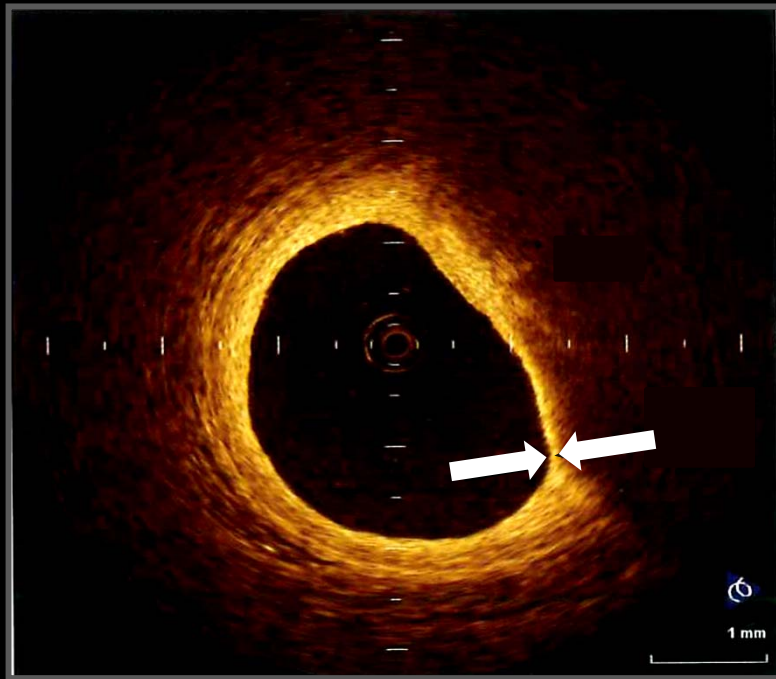
- ① 高度狭窄病変
- ② 高度石灰化病変（Rotaの適応と効果判定）
- ③ 不安定プラーク（no-reflowの予測）
- ④ スtent留置後の評価（内腔径、面積、appositionなど）
- ⑤ follow up時の評価（血栓、新生内膜の被覆状況など）

## 不安定プラークの診断

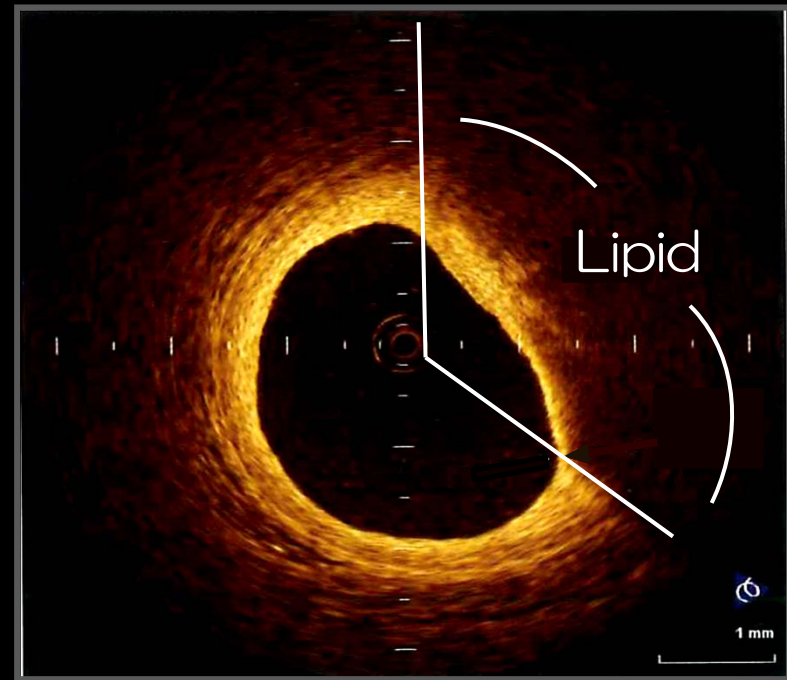
- ① A thin cap with a large lipid core
- ② Active inflammation
- ③ Endothelial denudation with superficial platelet aggregation
- ④ Fissured/injured plaque
- ⑤ Severe stenosis

(Naghavi, M. et al. Circulation. 2003;108: 1664-72)

# OCTの評価項目

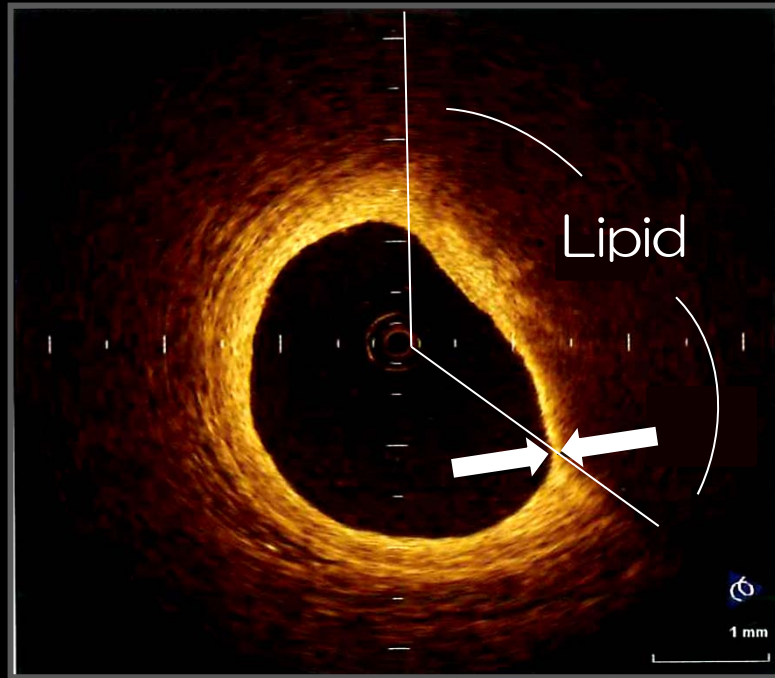


Fibrous cap thickness



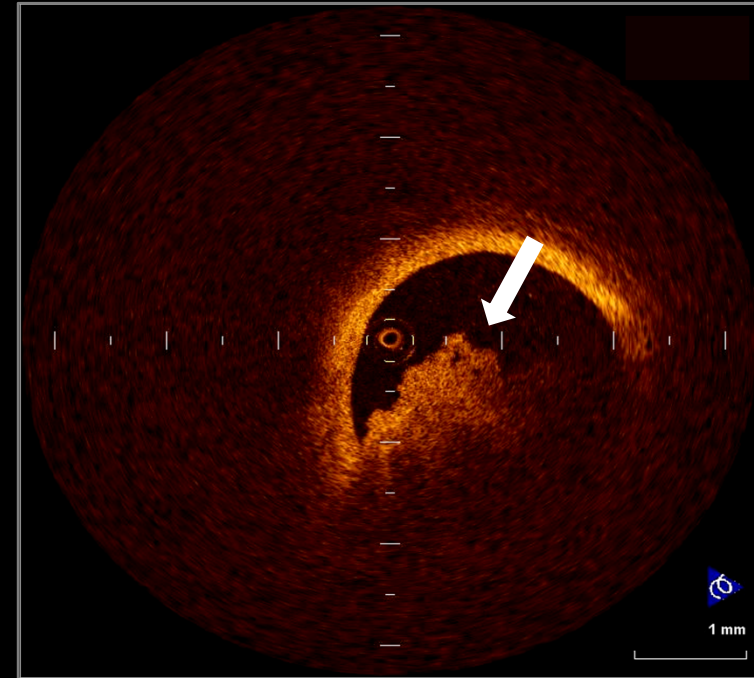
Lipid arc

# OCTの評価項目



TCFA

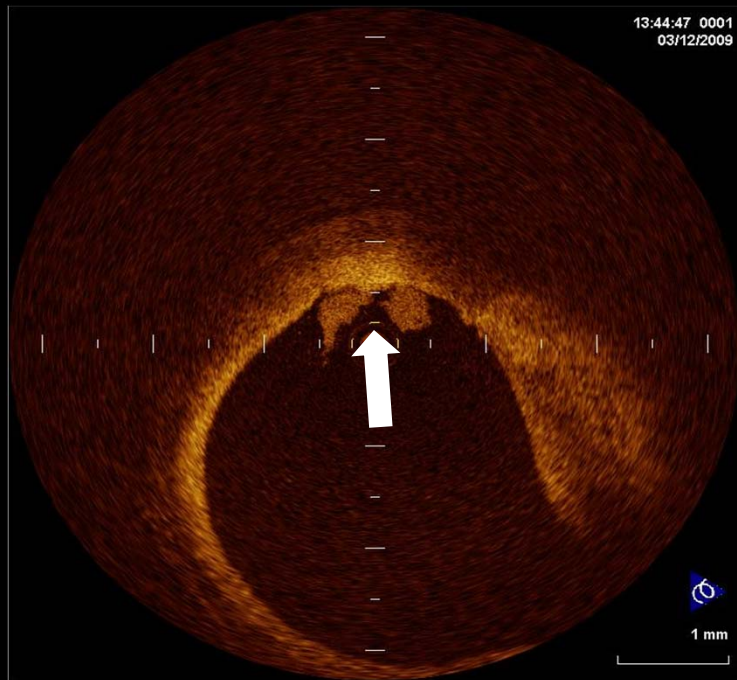
Fibrous cap  $<70 \mu\text{m}$   
Lipid arc  $>90^\circ$



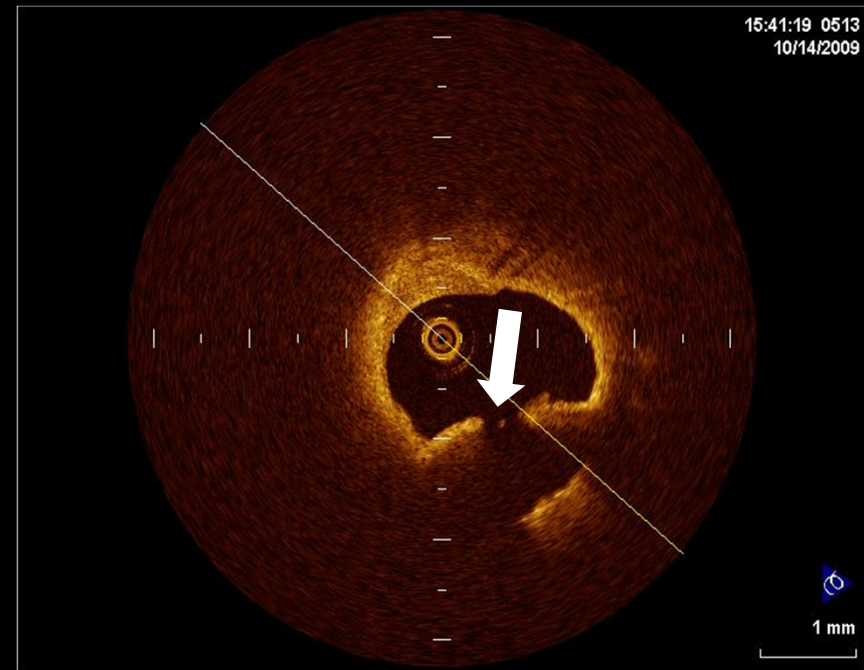
Thrombus

(Tanaka A. et al. Eur Heart J. 2009; 30: 1348-55)

# OCTの評価項目



Plaque erosion



Plaque rupture

## 【目的】

OCTにより、責任病変における不安定プラークの評価を行い、OCT所見がno-reflowの予測に有用であるかどうかを検討すること。

## 【方法】

当院においてOCTを用いて新規病変にPCIを施行した症例のうち、末梢保護デバイス使用例、OCT画像が不良な例を除く88症例を対象とした。

OCTはデキストラン持続注入法で行い、バルーン拡張前に観察した。血管造影にて血栓が疑われる場合は、血栓吸引療法をOCT前に施行した。

PCI後の造影でTIMI 2以下をno-reflowと定義し、no-reflow群、reflow群の2群間で比較検討を行った。

# Baseline Characteristics

	No-reflow (n =17)	Reflow (n =71)	<i>P</i>
Age, years	64.9±13.3	67.1±11.7	0.5
Male sex	12 (71%)	55 (78%)	0.6
Diabetes mellitus	7 (42%)	23 (33%)	0.5
Hypertension	11 (64%)	47 (66%)	0.8
Dyslipidemia	8 (45%)	42 (59%)	0.2
Smoking	5 (31%)	25 (35%)	0.8
Body mass index, kg/m <sup>2</sup>	23.4±3.0	23.9±3.4	0.7
Multivessel disease	6 (35%)	38 (54%)	0.2
Old myocardial infarction	3 (17%)	27 (38%)	0.1
Clinical presentation			0.04
STEMI	10 (59%)	18 (25%)	
UAP	4 (23%)	17 (24%)	
SAP	3 (18%)	36 (51%)	
LVEF, %	50.3±9.4	52.0±10.1	0.6
Hs-CRP, mg/dl	0.185±0.3	0.321±0.4	0.3

Data presented are mean ± SD or number (%).

# Angiographical Findings

	No-reflow (n =17)	Reflow (n =71)	<i>P</i>
Culprit vessel			0.7
Left descending artery	5 (29%)	23 (32%)	
Left circumflex artery	2 (12%)	8 (11%)	
Right coronary artery	10 (59%)	40 (67%)	
Initial TIMI flow grade			0.01
0	7 (41%)	7 (10%)	
1	1 (6%)	2 (3%)	
2	1 (6%)	8 (11%)	
3	8(47%)	54 (76%)	
Reference diameter	2.7±0.5	2.7±0.6	0.9
Minimum lumen diameter	0.4±0.4	0.6±0.4	0.1
% diameter stenosis	83.8±17.3	75.8±14.3	0.04
Stent size	3.3±0.3	3.3±0.5	0.8
Stent length	17.9±4.0	21.1±9.9	0.3
Maximum inflation pressure	15±2	14±2	0.7

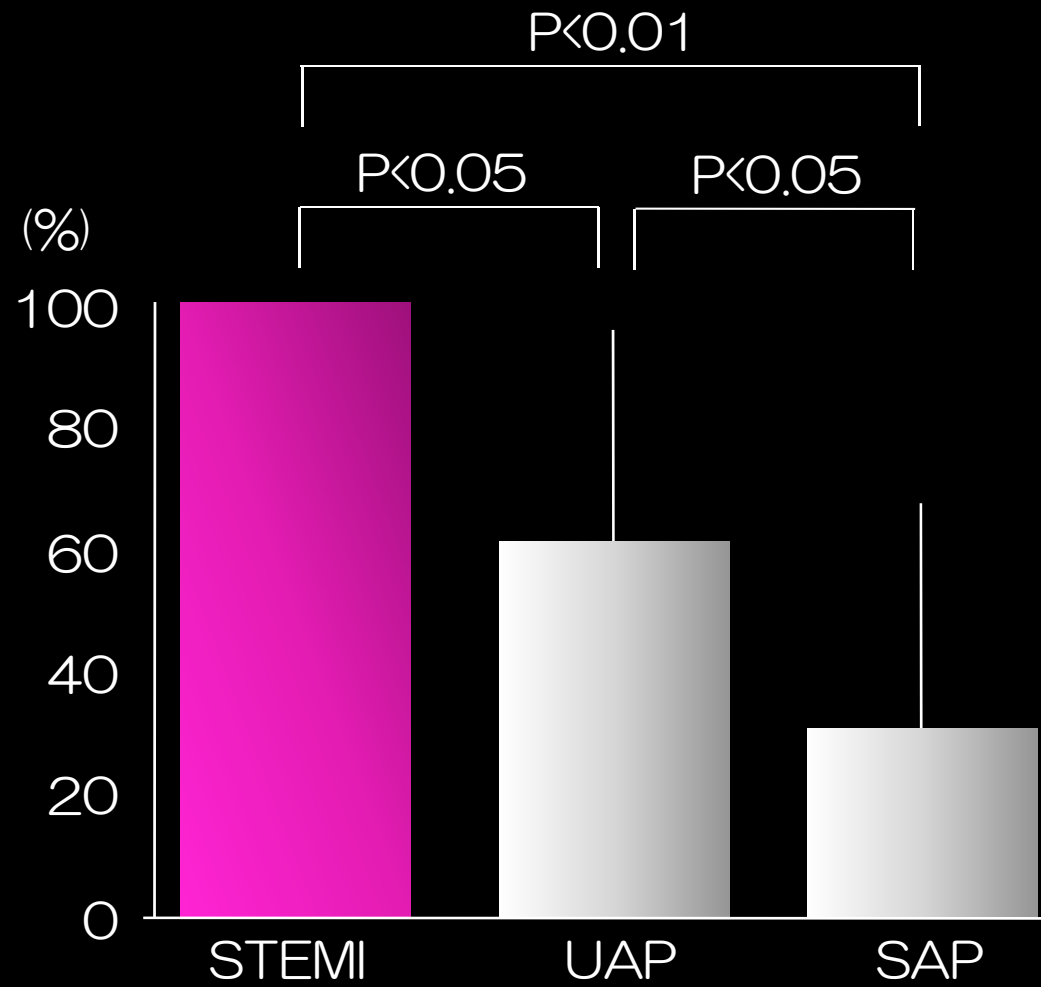
Data presented are mean ± SD or number (%).

# OCT Findings

	No-reflow (n =17)	Reflow (n =71)	<i>P</i>
<b>Thrombus</b>	<b>15 (88%)</b>	<b>23 (53%)</b>	<b>0.01</b>
Lipid plaque, No. of quadrants			0.1
1	7 (41%)	54 (76%)	
2	1 (6%)	2 (3%)	
3	1 (6%)	8 (11%)	
4	8(47%)	7 (10%)	
Lipid-rich plaque (>2 quad.)	12 (71%)	31 (43%)	0.1
Fibrous cap thickness, $\mu\text{m}$	64 $\pm$ 13	79 $\pm$ 25	0.06
<b>TCFA</b>	<b>14 (82%)</b>	<b>35 (49%)</b>	<b>0.02</b>
Plaque rupture	7 (41%)	21 (29%)	0.5
<b>Plaque erosion</b>	<b>10 (59%)</b>	<b>19 (26%)</b>	<b>0.02</b>
Calcification	8 (47%)	33 (46%)	0.9

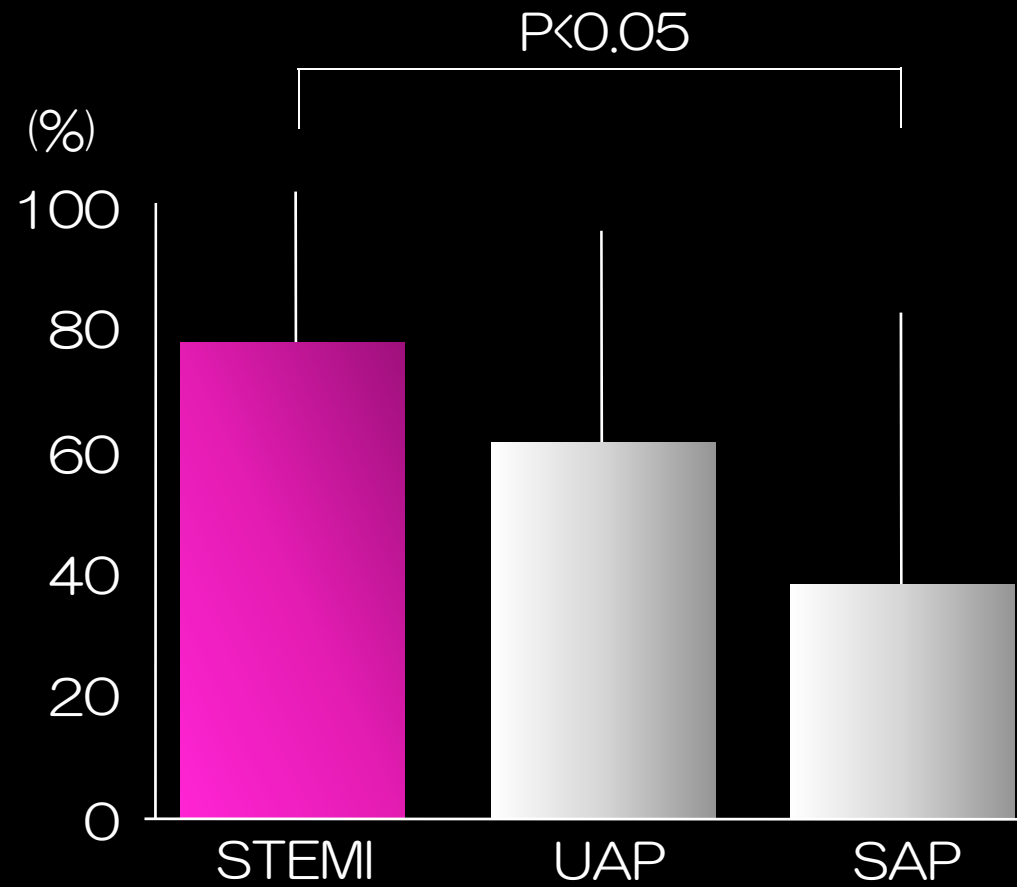
Data presented are mean  $\pm$  SD or number (%).

# Frequency of Thrombus



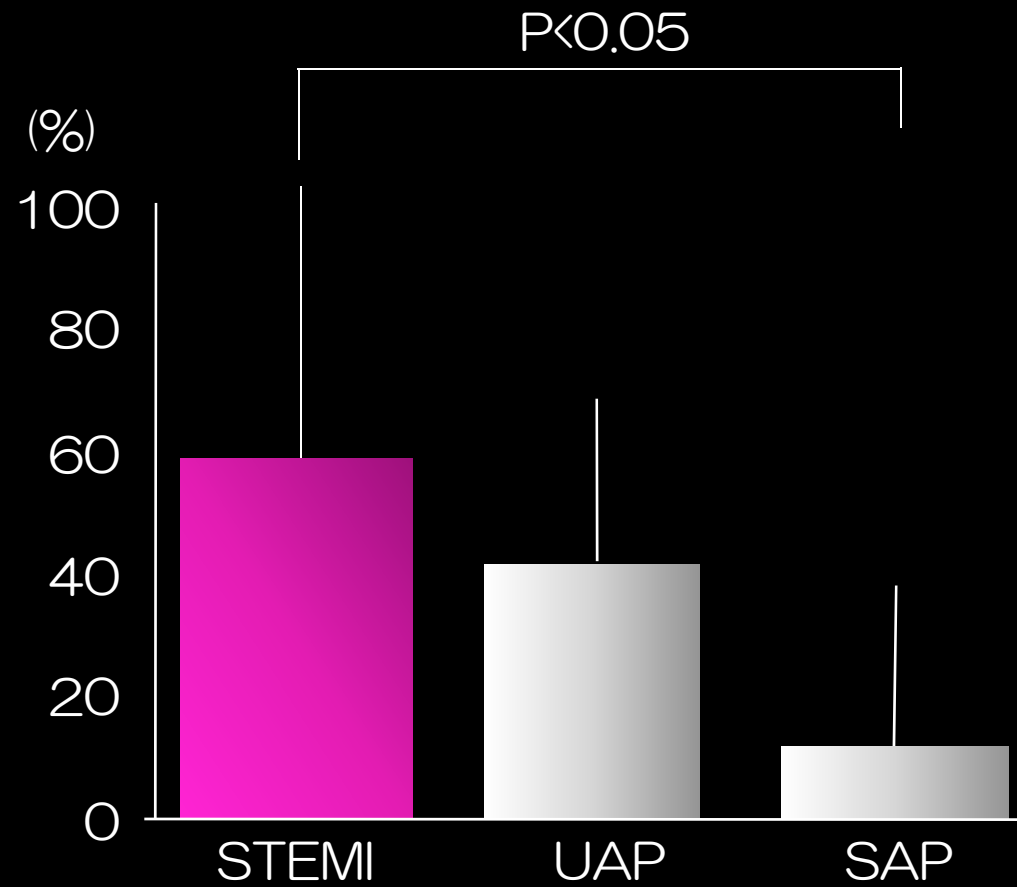
The data represent mean  $\pm$  S.D.

# Frequency of TCFA



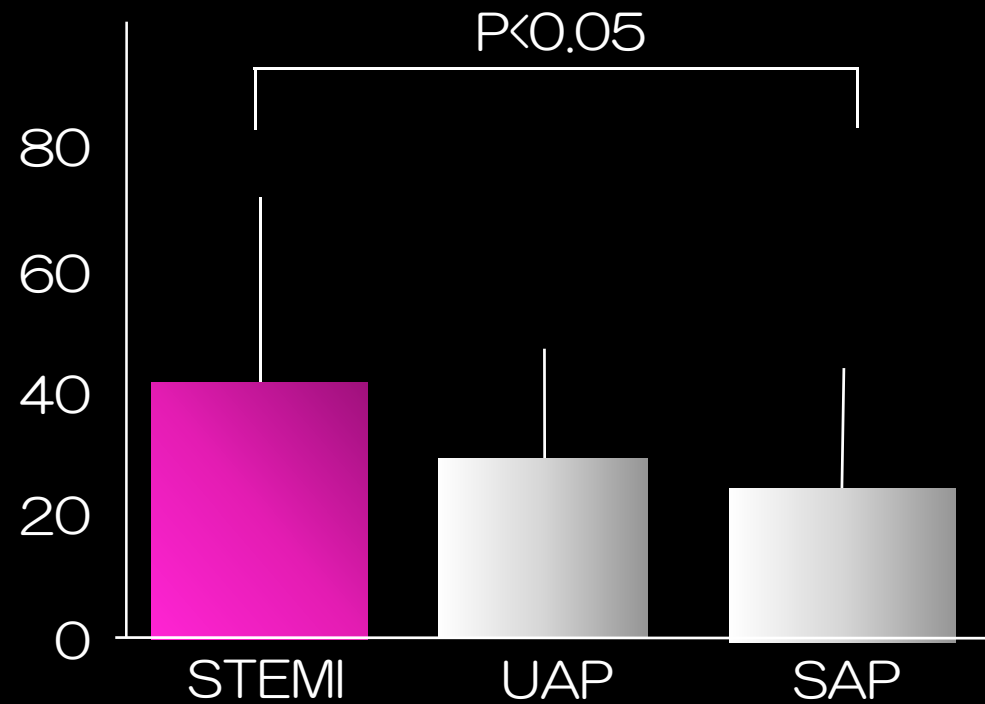
The data represent mean  $\pm$  S.D.

# Frequency of Erosion



The data represent mean  $\pm$  S.D.

# Collected TIMI frame count



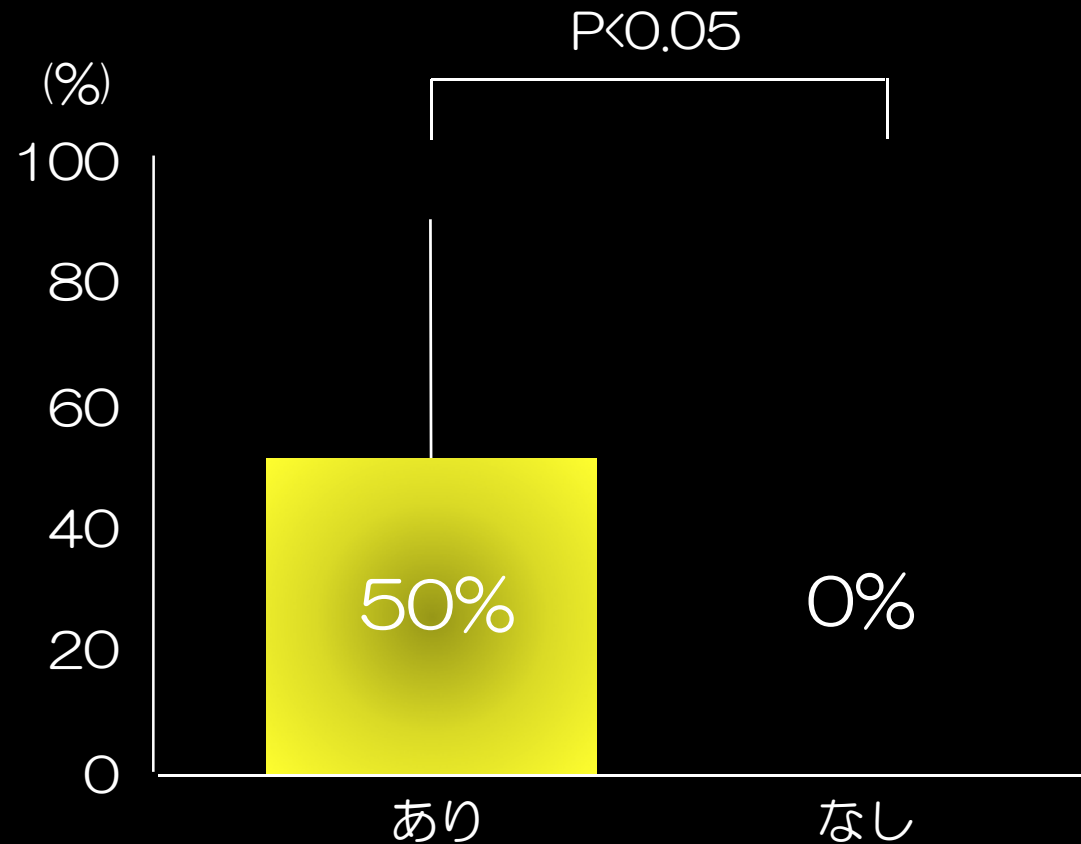
The data represent mean  $\pm$  S.D.

## OCT Findings (STEMIのみ)

	No-reflow (n = 8)	Reflow (n = 18)	<i>P</i>
Thrombus	8 (100%)	18 (100%)	
Lipid plaque, No. of quadrants			0.1
1	0 (0%)	3 (17%)	
2	1 (13%)	8 (44%)	
3	4 (50%)	4 (22%)	
4	3 (37%)	3 (17%)	
Lipid-rich plaque (>2 quad.)	8 (100%)	15 (83%)	0.2
Fibrous cap thickness, $\mu\text{m}$	61 $\pm$ 18	58 $\pm$ 10	0.5
TCFA	7 (88%)	13 (72%)	0.6
Plaque rupture	3 (38%)	7 (39%)	0.5
Plaque erosion	6 (75%)	8 (44%)	0.1
Calcification	4 (50%)	6 (33%)	0.4

Data presented are mean  $\pm$  SD or number (%).

# Frequency of No-reflow (STEMIのみ)



Thrombus+TCFA (Lipid arc  $>180^\circ$ )

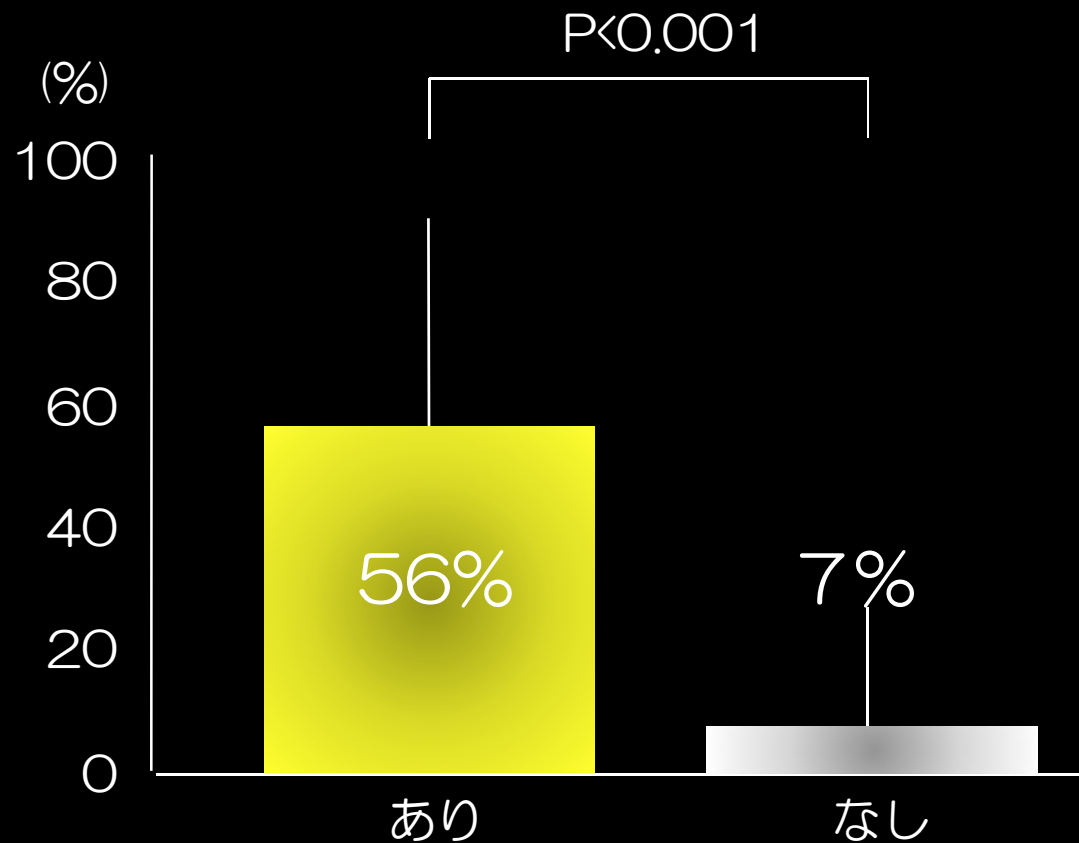
The data represent mean  $\pm$  S.D.

## OCT Findings (STEMI以外)

	No-reflow (n =9)	Reflow (n =54)	<i>P</i>
<b>Thrombus</b>	<b>7 (79%)</b>	<b>19 (35%)</b>	<b>0.02</b>
Lipid plaque, No. of quadrants			0.2
1	1 (11%)	22 (41%)	
2	3 (33%)	13 (24%)	
3	5 (56%)	12 (22%)	
4	0 (0%)	7 (13%)	
Lipid-rich plaque (>2 quad.)	5 (56%)	22 (40%)	0.4
Fibrous cap thickness, $\mu\text{m}$	66 $\pm$ 21	82 $\pm$ 27	0.2
<b>TCFA</b>	<b>7 (78%)</b>	<b>22 (41%)</b>	<b>0.04</b>
Plaque rupture	4 (44%)	9 (17%)	0.1
<b>Plaque erosion</b>	<b>5 (56%)</b>	<b>12 (22%)</b>	<b>0.03</b>
Calcification	6 (67%)	25 (46%)	0.3

Data presented are mean  $\pm$  SD or number (%).

# Frequency of No-reflow (STEMI以外)

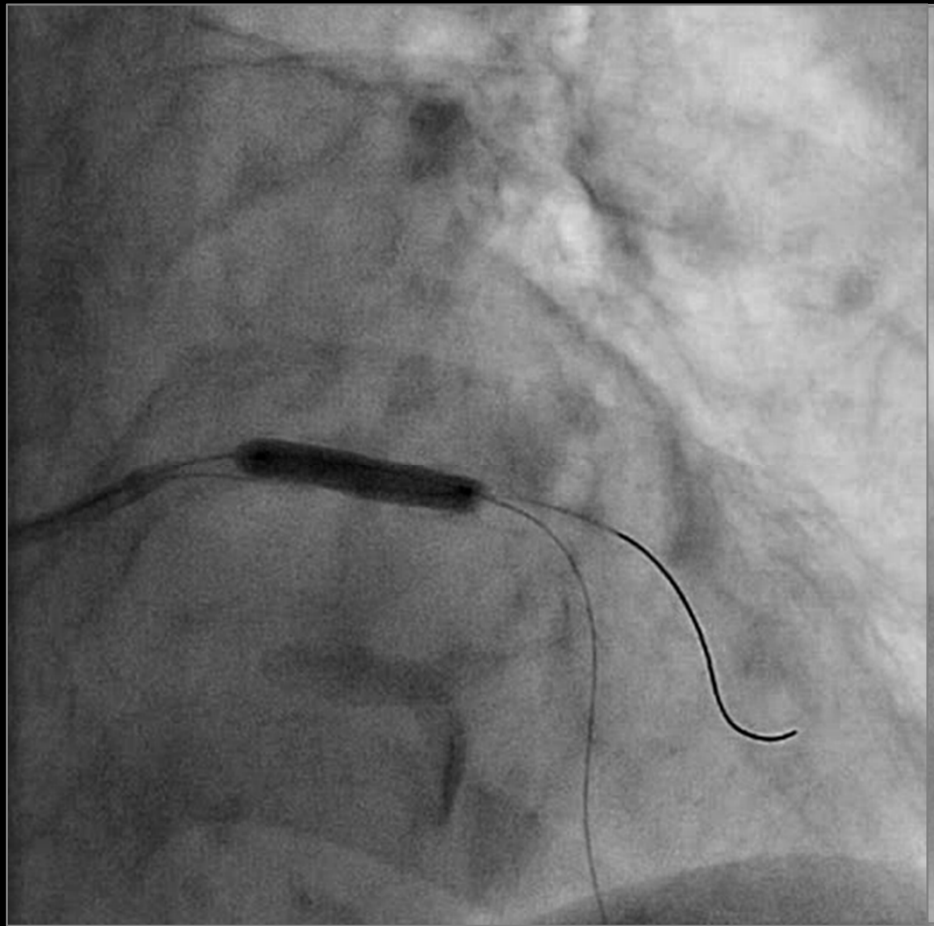


Thrombus+TCFA+Erosion

The data represent mean  $\pm$  S.D.

# Case 1

(STEMI No-reflow 84y.o. female)



Target lesion: LAD⑥)

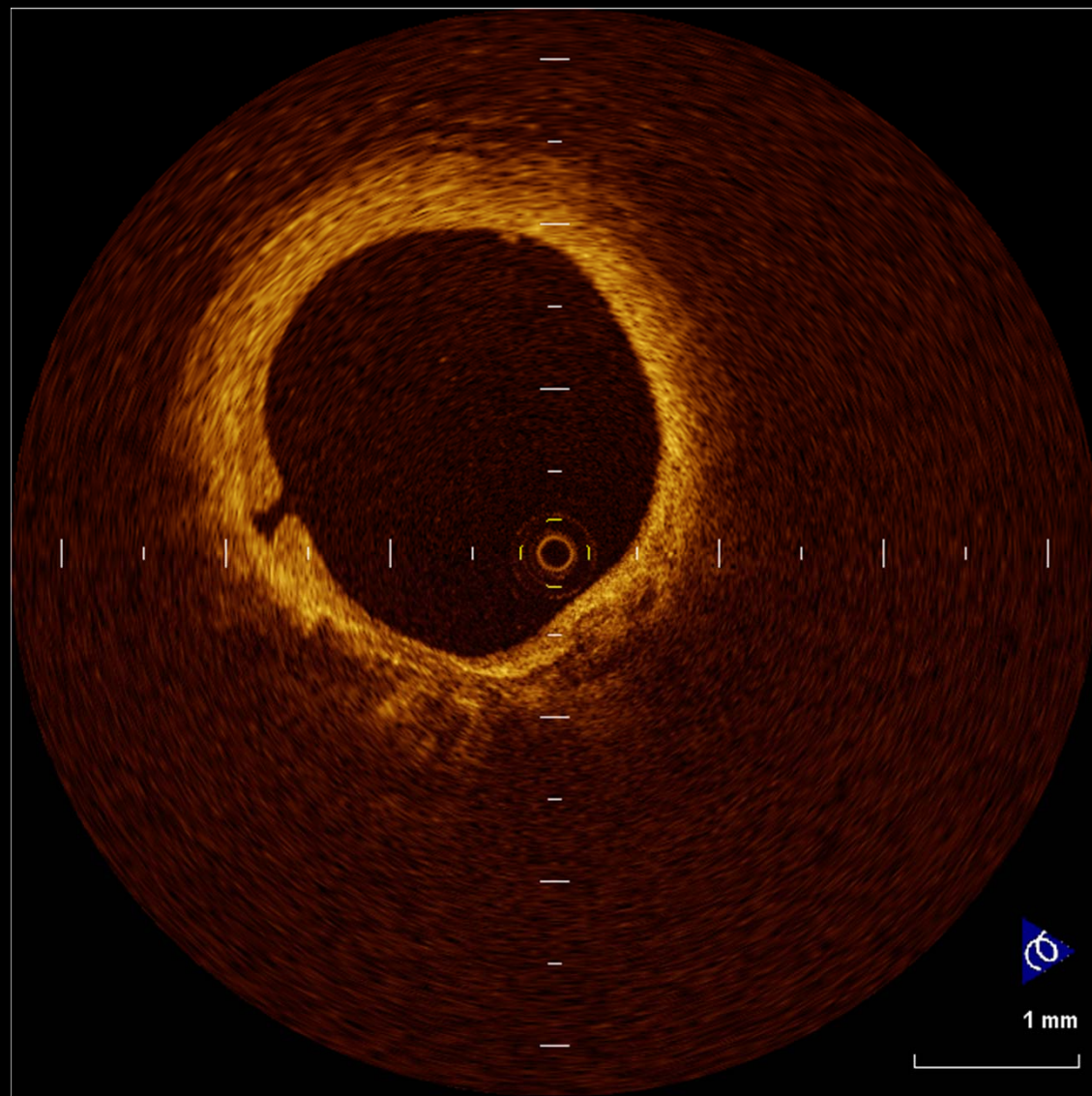
Guide catheter: Launcher JL 3.5 6F

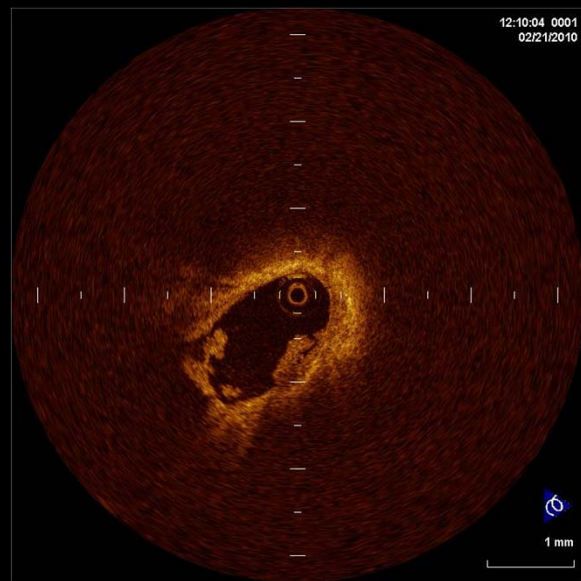
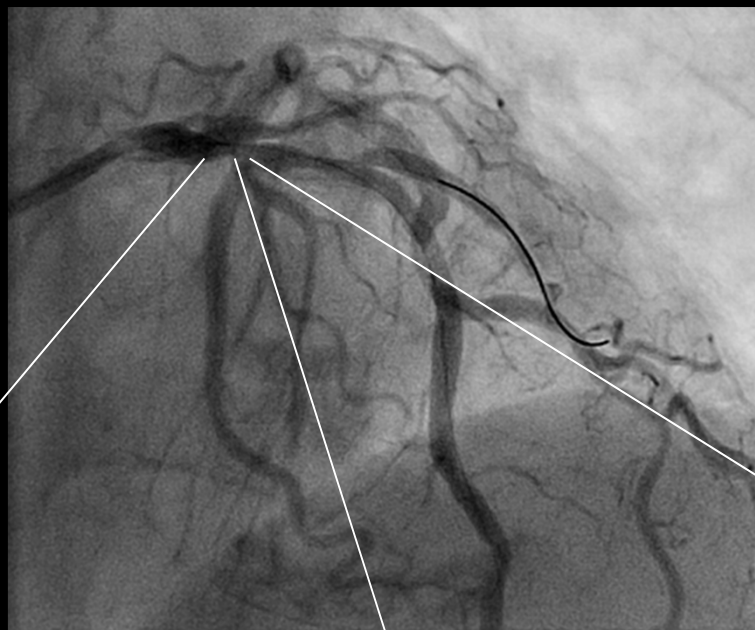
Guide wire: Neos Rinato

STENT: Driver 3.5×18

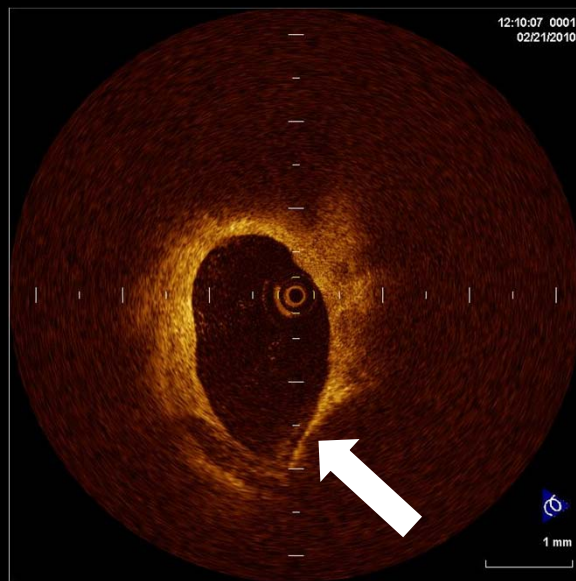
Other device: OCT image wire  
Eagle Eye gold  
Thrombster II

# Case 1

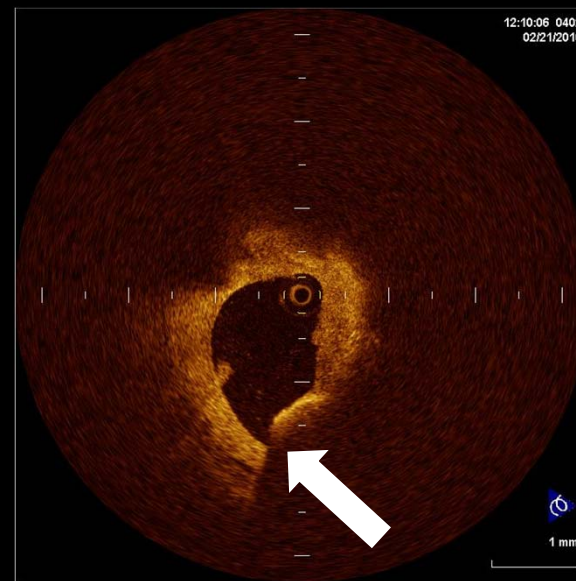




Thrombus



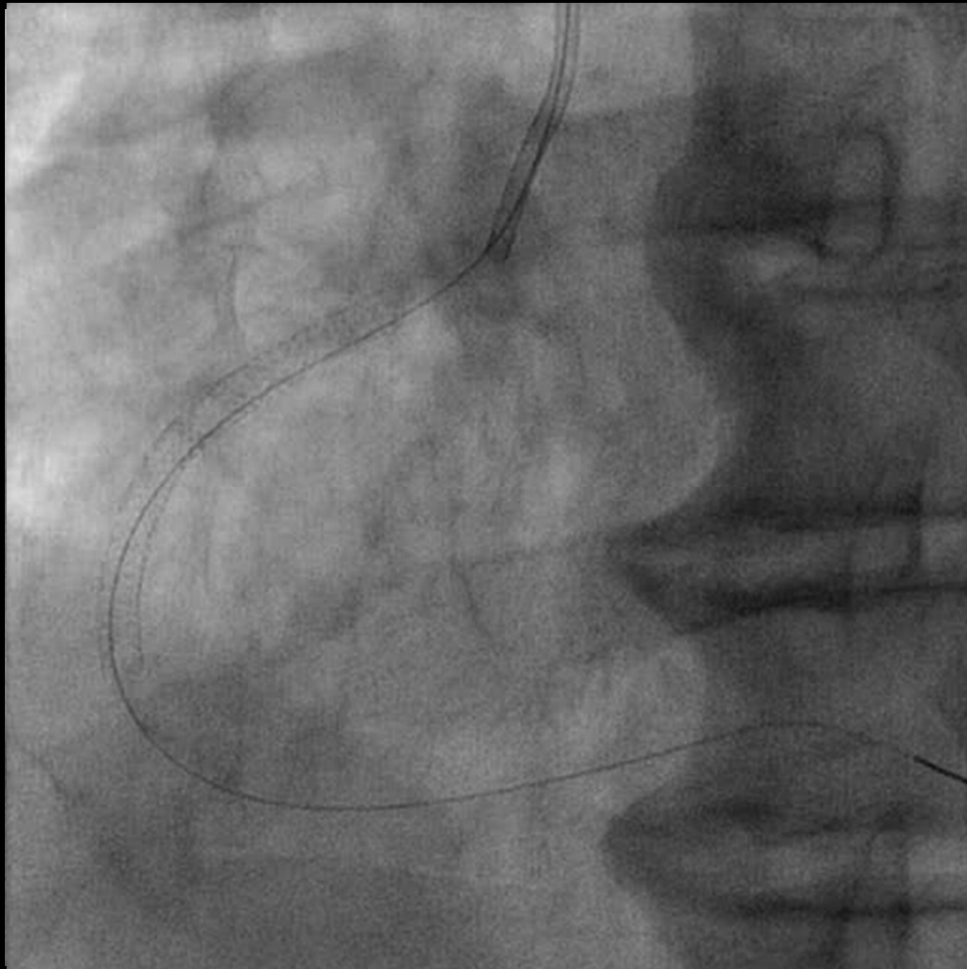
TCFA  
(lipid arc > 180° )



Plaque rupture

## Case 2

(SAP Slow-flow 79y.o. male)



Target lesion: RCA①~②

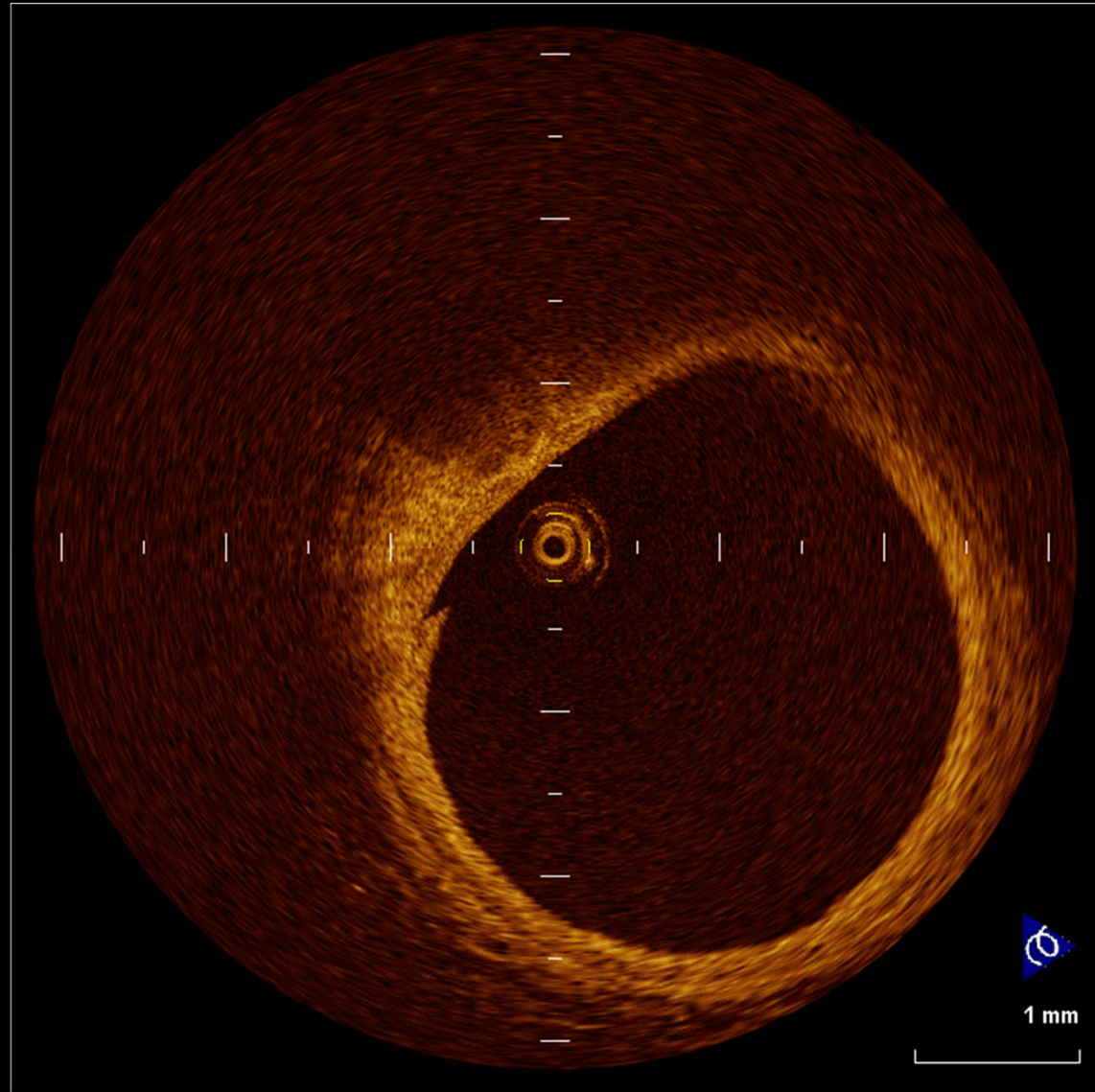
Guide catheter: Taiga AL0.75, 6F

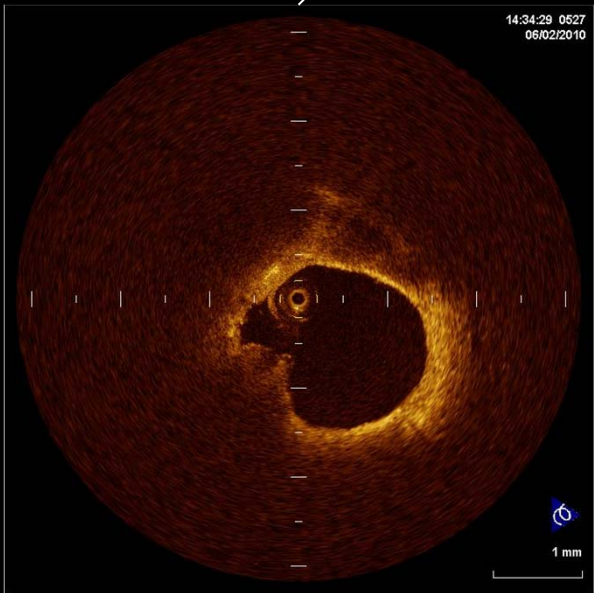
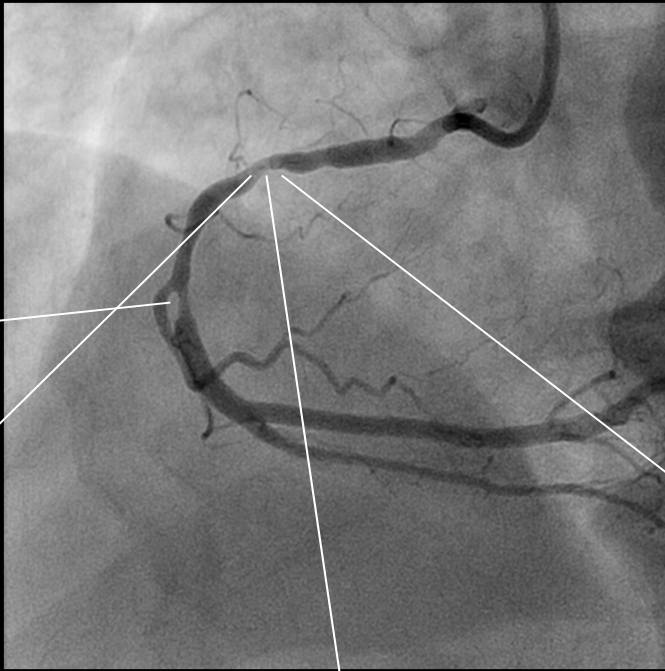
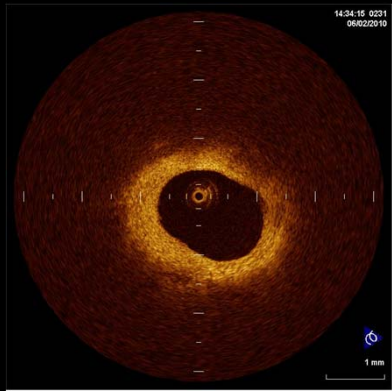
Guide wire: Neos Rinato

STENT: Xience 3.5×23,  
Promus 3.5×23

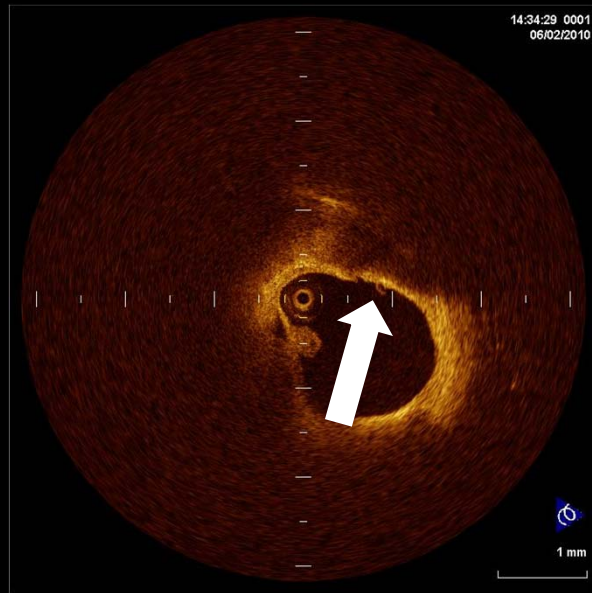
Other device: OCT image wire  
Eagle Eye gold  
Thrombster II

# Case 2

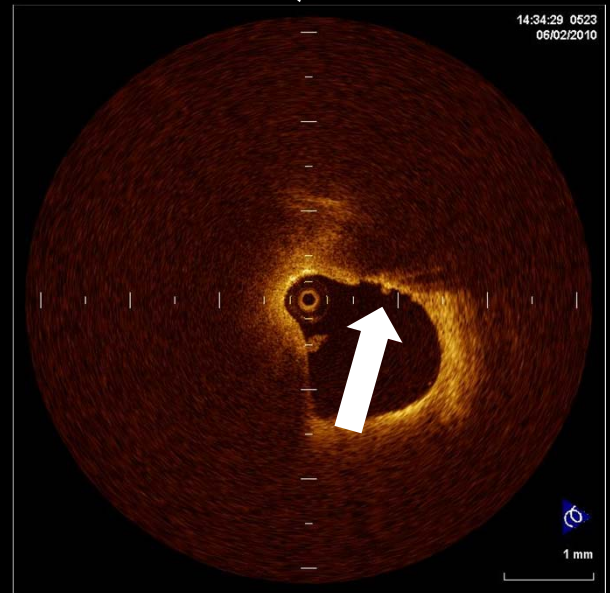




Thrombus



TCFA



Erosion

## 【まとめ①】

- OCT上、血栓、TCFA、erosionはいずれもSTEMI>UAP>SAPの頻度で認められ、STEMIにおける頻度はSAPと比較して有意に多かった。
- Plaque ruptureはSTEMIの40%弱で、赤色血栓の存在により過小評価している可能性が考えられた。
- PCI後のCollected TIMI frame countもSTEMI>UAP>SAPの順で高く、責任病変形態との関連が示唆された。

## 【まとめ②】

- STEMIでは、no-reflow群、reflow群の2群間でOCTの各指標に有意差は認められなかった。しかし血栓+TCFA (lipid core  $> 180^\circ$  ) の症例は全体の6割を占め、このうち半数がno-reflowを呈した。
- STEMI以外では、no-reflow群はreflow群と比較して有意に血栓、TCFAおよびerosionの頻度が多かった。また血栓+TCFA+erosionの症例は、全体の2割を占め、このうち過半数がno-reflowを呈した。

## 【結語】

OCTにより、責任病変における不安定プラークの形態診断が可能であった。

病態に応じてOCTによる指標を組み合わせることで、no-reflowにおけるリスクの層別化が可能と考えられた。